

## Carta científica

## Tumor del glomus carotídeo: evaluación y abordaje quirúrgico a partir de 2 casos



## Carotid body tumor: Evaluation and surgical approach of 2 cases

## Introducción

El tumor del glomus carotídeo (TGC) es una neoplasia benigna derivada de las células mesodérmicas del cuerpo carotídeo<sup>1</sup>. Forma parte de los paragangliomas, con incidencia de 3-4 por 100.000 habitantes por año, representando menos de un 0,5% de los tumores de cabeza y cuello<sup>2,3</sup>. Es más frecuente en mujeres, con una edad promedio de presentación entre la tercera y la sexta década de vida<sup>2</sup> y se describe con mayor frecuencia en zonas de mayor altura<sup>1,4</sup>. La mayoría se presenta de forma esporádica, aunque un 10-25% de los pacientes tienen antecedentes familiares de paragangliomas<sup>5</sup> y se relacionan con una presentación a edad temprana o bilateral. En estos casos, se ha determinado que la transmisión se da de forma autosómica dominante ligada al sexo masculino.

Las mutaciones presentadas en mayor frecuencia son aquellas relacionadas con el complejo succinato deshidrogenasa mitocondrial, más comúnmente con el gen de la subunidad D2<sup>6</sup>, reportados hasta en un 40% de los casos<sup>4</sup>. Se ha estimado que mutaciones en estos genes aumentan la producción de especies reactivas de oxígeno, las que aumentan el trabajo de las células tipo 1 que forman parte del glomus, produciendo hipertrofia, hiperplasia y finalmente crecimiento neoplásico<sup>2</sup>.

Los TGC se manifiestan como una masa indolora, pulsátil, adherida y de crecimiento progresivo, siendo diagnosticados usualmente de forma incidental<sup>7</sup>. Los pacientes pueden presentar disfagia, disfonía y disfunción autonómica<sup>2</sup>; en el caso de ser tumores productores de catecolaminas, se pueden manifestar con sintomatología hiperadrenérgica asociada<sup>8</sup>; también puede darse el síndrome de Horner, secundario al compromiso de los vasos carotídeos y los pares craneales X-XII<sup>2</sup>, aunque a menudo suele ser asintomático<sup>9</sup>.

El diagnóstico es clínico y se confirma mediante imágenes. Dentro de estas, destacan la ecografía, la tomografía computada (TC) y la resonancia magnética<sup>9</sup>. Mientras tanto, el seguimiento y planificación se beneficia de angiografía. Las imágenes permiten la clasificación de Shamblin, la cual define pronóstico y tratamiento según el grado de compromiso carotídeo<sup>4</sup>. El tratamiento de elección es quirúrgico, siendo el único curativo y el cual requiere una cuidadosa y avanzada técnica<sup>1,4</sup>.

Dadas la baja incidencia y la elevada complejidad en el manejo de los TGC, presentamos los siguientes casos, que requirieron intervención de cirujanos externos al centro asistencial para su resolución.

## Presentación de los casos

## Caso 1

Hombre de 53 años, con antecedente de lipoma supraclavicular izquierdo en control posterior a accidente vehicular con impacto en tórax. Durante control de lipoma para evaluar eventual cirugía, se pesquisó tumor de cuerpo carotídeo derecho en TC. Se realizó examen físico dirigido, encontrando aumento de volumen en ángulo mandibular derecho, de características gomosas y no pulsátil. No presentaba soplo carotídeo.

Se derivó al equipo de cirugía vascular, quienes confirmaron el diagnóstico de TGC derecho Shamblin III, programando intervención quirúrgica en un plazo de 3 meses.

El paciente se ausentó a controles posteriores, volviendo a consulta médica 15 años después para reprogramar cirugía. Se realizaron estudios con el fin de reetapificar el tumor, en los cuales se observó de similares dimensiones (42 × 30 × 28 mm) con clasificación Shamblin III (fig. 1). Se programó la cirugía en conjunto al paciente número para coordinar la asistencia de un cirujano externo.

La cirugía se inició realizando una incisión en cara anterior del esternocleidomastoideo derecho, diseccionando a través de los planos hasta identificar la arteria carótida común y sus ramas interna

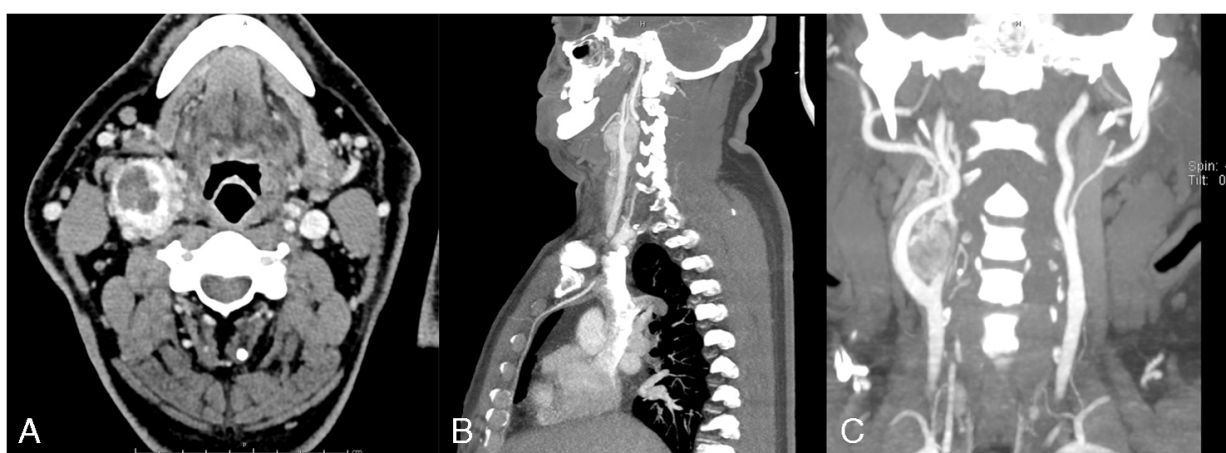
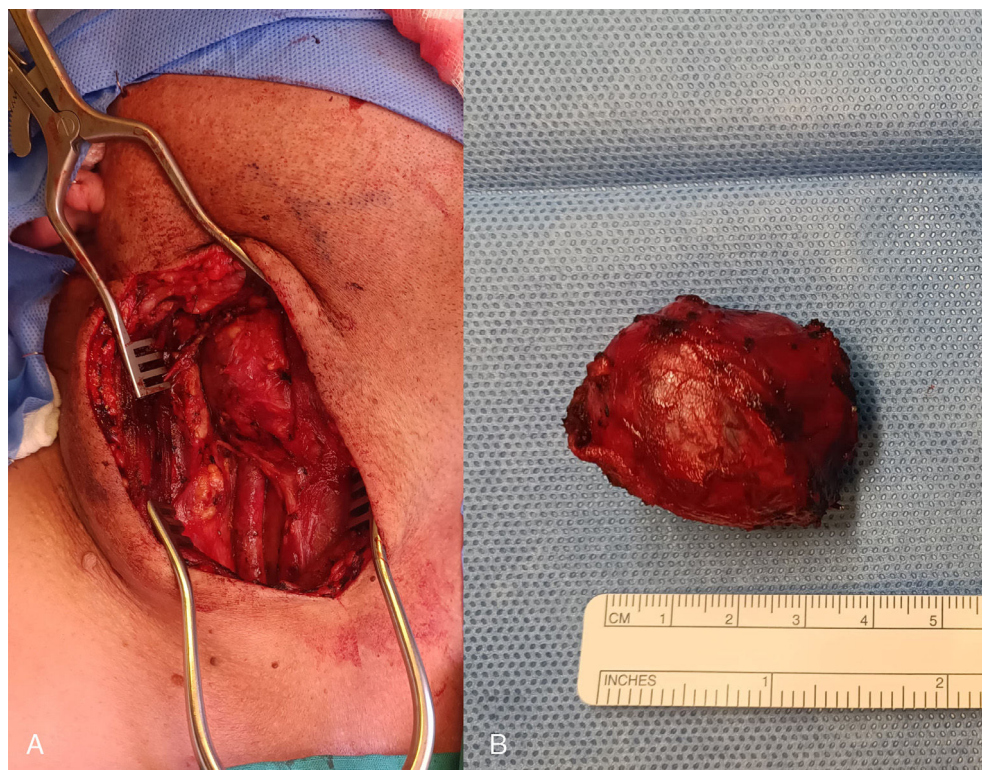


Figura 1. A-C) Tomografía computarizada que evidencia tumor del glomus carotídeo clasificación Shamblin III.



**Figura 2.** A) Cirugía de resección de tumor del glomus carotídeo Shamblin III. B) Tumor del glomus carotídeo de aproximadamente 4 cm x 3 cm x 2 cm.

y externa, junto al tumor que las envolvía. En el procedimiento, se observó adenopatía submandibular derecha de 2 cm, que fue enviada a biopsia diferida. Se exponen los extremos proximal y distal de las arterias y se identifican los nervios vago, hipogloso, laríngeo superior y se apartan del tumor, para luego resear el tumor en el plano subadventicial mediante electrocauterización bipolar. El tumor fue resecado completamente (fig. 2), respetando estructuras vasculares y nerviosas adyacentes, con hemostasia adecuada. Se comprobó el flujo carotídeo con ecografía Doppler, se colocó un drenaje por el borde caudal de la incisión y se cerró la incisión.

El paciente evolucionó favorablemente y sin complicaciones, siendo dado de alta al cuarto día postoperatorio. Al mes de postoperatorio fue evaluado en policlínico de cirugía vascular, encontrándose en buenas condiciones y sin complicaciones. El informe histopatológico concluyó paraganglioma de cuerpo carotídeo con inmunohistoquímica positiva para s100, cromogranina y sinaptofisina, con índice de replicación Ki67 del 12% y ganglio con linfadenitis crónica. Fue evaluado por oncología, quienes descartaron enfermedad linfoproliferativa y concluyeron que no requiere posterior seguimiento, dándolo de alta.

#### Caso 2

Mujer de 48 años, con antecedente de diabetes mellitus 2 en tratamiento con metformina y atorvastatina. Consultó en servicio de Cirugía por aumento de volumen de 2 años de evolución en ángulo mandibular derecho. Al examen físico se palpó gomoso y pulsátil, móvil en plano horizontal (signo de Fontaine positivo), sin soplos carotídeos.

En primera instancia se realizó ecografía que evidenció una masa ovoidea en la bifurcación carotídea, de contornos lisos y regulares, hipoecogénica, hipovascular, de 23 x 32 x 45 mm. Posteriormente se ordenó una TC que informó TGC derecho Shamblin II, con desplazamiento posterolateral de la vena yugular derecha (fig. 3). Se programó la cirugía en conjunto al paciente número para coordinar la asistencia de un cirujano externo.

Para la cirugía se realizó una incisión por el borde anterior del esternocleidomastoideo derecho, disecando los planos hasta exponer el paquete vasculonervioso. Se expuso la vena yugular interna y se disecó por su borde medial. Se ligaron las venas lingual y facial, lateralizando la vena yugular hasta identificar la arteria carótida común y el nervio vago e hipogloso, apartándolos del tumor. Se identificó el tumor y se procedió a realizar la resección subadventicial mediante electrocauterización bipolar, requiriendo seccionar un asa del nervio hipogloso por su adherencia al tumor. Se logró la resección completa del tumor (fig. 4), con hemostasia adecuada. Para finalizar se comprobó flujo con ecografía Doppler y se dejó un drenaje por el borde caudal, cerrando la incisión.

La paciente evolucionó con disfagia y disfonía. En el examen físico presentó desviación a derecha de la lengua, con apertura mandibular desviada levemente a izquierda. Reflejos velopalatino, tusígeno y deglución de saliva presentes. Es dada de alta al cuarto día postoperatorio, con persistencia de disfagia.

Al mes de postoperatoria fue evaluada en policlínico de cirugía vascular, con persistencia de disfonía y aminoración de la disfagia. El informe histopatológico concluyó paraganglioma de cuerpo carotídeo, sin necesidad de seguimiento por Oncología. Actualmente se mantiene en terapia con fonoaudiología.

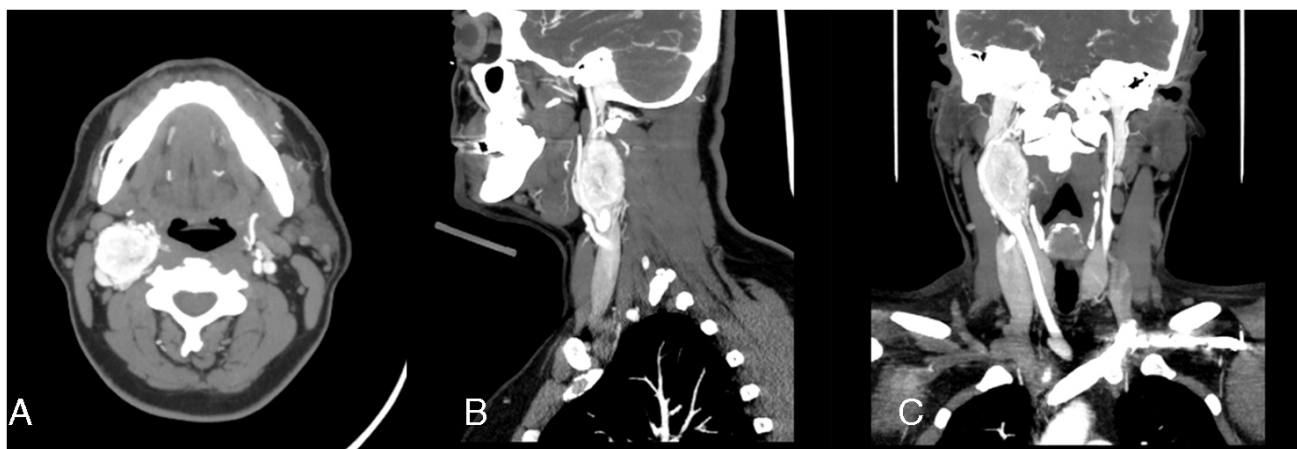


Figura 3. A-C) Tomografía computarizada que evidencia tumor del glomus carotídeo clasificación Shamblin II.

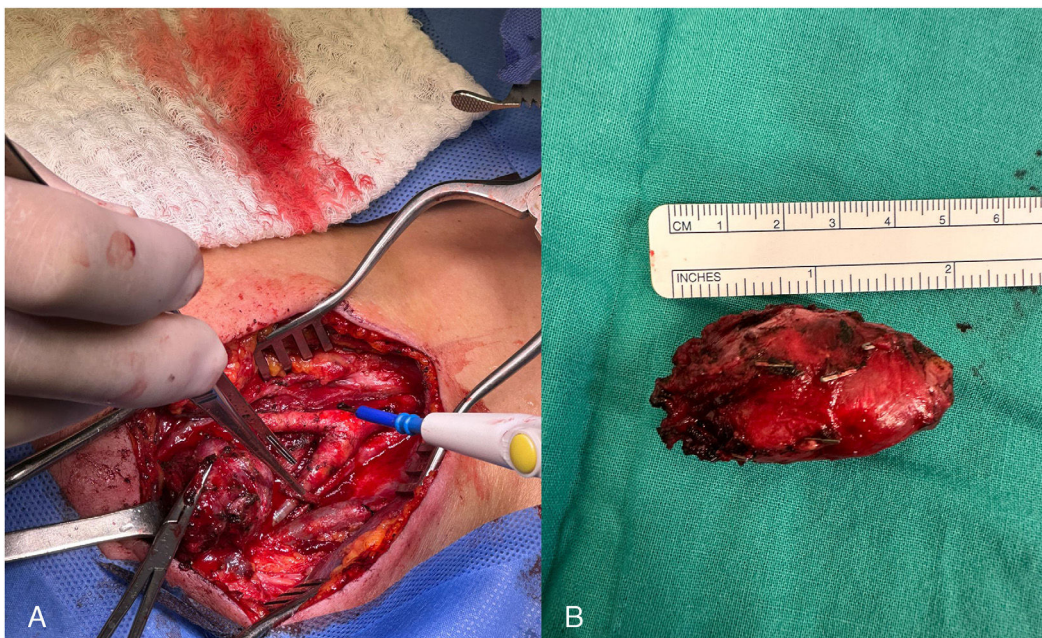


Figura 4. A) Cirugía de resección de tumor del glomus carotídeo Shamblin II. B) Tumor del glomus carotídeo de aproximadamente 5 cm x 3 cm x 2 cm.

## Discusión y conclusión

El TGC se presenta como una masa de crecimiento lento, localizada a nivel del hueso hioideo, anterior al esternocleidomastoideo<sup>2</sup>. Si bien la mayoría son asintomáticos, pueden ocasionar dolor, disfagia, sensación de masa pulsátil o parálisis nerviosa<sup>4</sup>. Por otro lado, dada la capacidad de algunos TGC de producir catecolaminas, pueden presentarse signos y síntomas como cefalea, palpitaciones, rubor, hiperglucemia, fiebre, hipertensión o arritmias, las cuales pueden resultar en complicaciones intraoperatorias o incluso la muerte del paciente<sup>8</sup>. Es por esto que, a pesar de su baja incidencia, es necesario medir metanefrinas y ácido vanilmandélico en orina en el preoperatorio, previniendo así inestabilidad vasomotora o crisis hipertensivas durante la inducción anestésica y fluctuaciones extremas de presión durante la manipulación del tumor<sup>3,10</sup>. El estudio genético comprenderá los genes VHL (von Hippel-Lindau), RET (neoplasia endocrina múltiple tipo 2), SDHA, SDHB, SDHC, SDHD y SDHAF2<sup>2</sup>.

Los TGC suelen ser benignos y presentan la menor tasa de malignidad de todos los paragangliomas, descrita como menor a un 5%<sup>6,11</sup>. Su malignidad está definida por la invasión a órganos vecinos, metástasis o recurrencia<sup>5,6</sup>. La diseminación local representa el 46,7% de las metástasis. Otros sitios de metástasis incluyen pulmón, hueso, hígado y cerebro. En estos casos, los tumores se caracterizan histológicamente por presentar necrosis central, invasión de los espacios vasculares y mitosis<sup>11</sup>. La supervivencia en diseminación local alcanza el 98% a 3 años. Sin embargo, en tumores que han metastatizado a otras zonas, solamente alcanza el 56% a 6 meses<sup>12</sup>.

La técnica quirúrgica estándar para el tratamiento del TGC consiste en la resección periadventicial y presenta desafíos terapéuticos importantes de acuerdo con la localización y grado de compromiso de estructuras adyacentes por el tumor<sup>1</sup>. La clasificación de Shamblin categoriza los TGC en 3 subtipos, determinando así pronóstico y mortalidad. En la clasificación de Shamblin I, el tumor está confinado a la bifurcación de las carótidas; sin embargo, este no está adherido a las paredes de los vasos<sup>10</sup>, lo que con-

lleva un riesgo mínimo de complicaciones vasculares o nerviosas<sup>2</sup>. Un tumor Shamblin II se caracteriza por rodear parcialmente los vasos carotídeos, lo que puede hacer la resección más compleja<sup>2</sup>. Finalmente, un tumor Shamblin III tiene relación íntima con los vasos carotídeos, rodeándolos completamente; esto determina una disección con elevadas posibilidades de daño vascular o nerviosos<sup>6</sup>, por lo que pueden ser necesarias técnicas para interrumpir el flujo carotídeo y extraer de la forma más segura el tumor<sup>1</sup>.

Si bien el tratamiento puede ser altamente efectivo y seguro, no está exento de complicaciones<sup>9</sup>. Las complicaciones más frecuentes en la resección de los TGC son la parálisis de pares craneales adyacentes. En una revisión, se determinó que los nervios vago e hipogloso se dañaron en un 19 y un 22% de los casos, respectivamente<sup>13</sup>. Los tumores Shamblin III, debido a su mayor grado de compromiso vascular, tienen mayor tasa de complicaciones. La hemorragia promedio en una cirugía para resección de un TGC Shamblin III se estima en 404 ml, mientras que para un TGC Shamblin I solo de 78 ml<sup>13</sup>. Además, mientras mayor sea la clasificación, mayores serán el tiempo operatorio y el tiempo de hospitalización<sup>1</sup>.

Otras complicaciones incluyen infarto cerebral que, aunque poco frecuente, es de las más inquietantes. Esta se reporta entre un 1,5 y un 1,95% de los casos<sup>12</sup>, variando considerablemente en su extensión. Las lesiones nerviosas que producen desviación de la lengua y ronquera son en su mayoría temporales, con incidencia del 23,1%. Otras complicaciones incluyen hipotensión (0,17%) y disfagia (0,11%)<sup>12</sup>. La mortalidad intraoperatoria varía entre el 0 y el 2% y en caso de resección incompleta del tumor existen altas tasas de recidiva. Incluso está descrita la aparición de metástasis después de 20 años<sup>3</sup>.

Dada la delicadeza de estas complicaciones, se requiere de cirujanos altamente especializados. Esta cirugía representa un gran desafío para el cirujano dada la compleja anatomía de la zona involucrada y por ello se han propuesto modificaciones a las técnicas quirúrgicas habituales. Santillán-Aguayo et al.<sup>14</sup> describieron recientemente la técnica de disección transbulbar para TGC Shamblin I y II, descrita como de mayor sencillez, que puede ser llevada a cabo con pérdidas de sangre y un tiempo operatorio similar, previniendo con igual eficacia la aparición de complicaciones<sup>14</sup>.

El reconocimiento de la arteria nutricia del tumor es de relevancia en la planificación de la cirugía, la cual podría requerir su ligadura para el éxito del procedimiento (Singh et al.<sup>15</sup>). Esta corresponde con mayor frecuencia a la arteria faríngea ascendente, aunque también es posible que nazcan ramas nutricias desde la arteria occipital, arteria tiroidea superior e incluso desde la bifurcación carotídea (arteria glómica)<sup>15,16</sup>.

Se ha descrito que la embolización previa a la cirugía puede resultar de utilidad para disminuir el tiempo operatorio en TGC Shamblin I y II y el sangrado en TGC Shamblin III<sup>12,13,17</sup>. Sin embargo, otros estudios han concluido que no habría diferencia significativa en mortalidad, tiempo operatorio, sangrado ni complicaciones<sup>15,18,19</sup>, lo que podría deberse a la heterogeneidad en los métodos empleados en los centros hospitalarios para la embolización; por ello, aún no existe consenso al respecto<sup>15,17</sup>.

La cirugía temprana disminuye las complicaciones de los TGC, para lo cual se enfatiza en la importancia de identificar signos clínicos que orienten a la pesquisa precoz para una resolución oportuna. Dentro de estos, se describe el «signo de Fontaine», que consiste en una masa con movimiento lateral, pero que carece de desplazamiento cefalocaudal<sup>1</sup>, pudiendo ser pulsátiles y en ocasiones auscultarse un soplo<sup>6</sup>.

## Responsabilidades éticas

El presente reporte de caso se llevó a cabo respetando la privacidad y confidencialidad de los datos, se siguieron los protocolos del centro hospitalario y los pacientes entregaron un consentimiento informado.

## Financiación

N/A.

## Conflictos de intereses

Los autores declaran no tener ningún conflicto de intereses.

## Bibliografía

1. Torrealba JL, Valdés F, Krämer AH, Mertens R, Bergoeing M, Mariné L. Management of carotid bifurcation tumors: 30-year experience. *Ann Vasc Surg*. 2016;34:200–5, <http://dx.doi.org/10.1016/j.avsg.2015.12.029>.
2. Hosalkar R, Khivasa J, Swain N. Carotid body paraganglioma. *Ann Maxillofac Surg*. 2019;9:423–8. [https://doi.org/10.4103/ams.ams\\_183\\_18](https://doi.org/10.4103/ams.ams_183_18).
3. Fonfach ZC, Imigo GF, Sánchez CG, Massri ED, Mertens R, Sánchez HA. Tumor de glomus carotídeo, a propósito de un caso. *Cuad Cir*. 2009;23:28–32, <http://dx.doi.org/10.4206/cuad.cir.2009.v23n1-06>.
4. Jiménez YR, Cabezas LL, Panassis FF, Cardemil MF. Paraganglioma cuerpo carotídeo: experiencia en 20 años y revisión de la literatura. *Rev Otorrinolaringol Cir Cabeza Cuello*. 2022;82:355–9, <http://dx.doi.org/10.4067/s0718-48162022000300355>.
5. Yáñez MR, Loyola BF, Cornejo FJ. Tumor de cuerpo carotídeo. *Rev Chil Cir*. 2011;63:513–8, <http://dx.doi.org/10.4067/s0718-40262011000500013>.
6. Hernández-Sotelo KV, Gutiérrez-Alanis D, Jiménez-Tejeda NL, Capirozo CR. Experiencia quirúrgica de tumor del cuerpo carotídeo en un hospital de segundo nivel. *Rev Mex Angiol*. 2023;51:16–21, <http://dx.doi.org/10.24875/rma.22000039>.
7. Chala-Galindo AI, Albornoz Garzón CA, Gómez-Vera CE. Carcinoma del glomus carotídeo. Serie de casos. *Rev Colomb Cir*. 2021;36:257–67, <http://dx.doi.org/10.30944/20117582.743>.
8. Moscona-Nissan A, Saldívar-Rodea CA, Enríquez-García R, Rincón-Ángel LI, Calzada AN, Seidman-Sorsby A, et al. Bilateral carotid body tumor case: A novel preoperative management. *Radiol Case Rep*. 2022;17:1021–9, <http://dx.doi.org/10.1016/j.radcr.2021.11.009>.
9. Hoang VT, Trinh CT, The Anh Khoa Lai, Doan DT Tran TTT. Carotid body tumor: A case report and literature review. *J Radiol Case Rep*. 2019;13:19–30, <http://dx.doi.org/10.3941/jrcr.v13i8.3681>.
10. Liu J, Mu H, Zhang W. Diagnosis and treatment of carotid body tumors. *Am J Transl Res*. 2021;13:14121.
11. Alfawaz AA, Alboushi D, Cuttaihne D, Alsafran S, AlQabandi O, Albader M. Malignant carotid body tumor: a report of two cases. *Ann Med Surg (Lond)*. 2023;85:1857–62, <http://dx.doi.org/10.1097/ms9.0000000000000402>.
12. Chen Y, Li Y, Liu J, Yang L. The clinical characteristics and outcomes of carotid body tumors in Chinese patients: A STROBE-compliant observational study. *Medicine (Baltimore)*. 2020;99:e18824, <http://dx.doi.org/10.1097/md.00000000000018824>.
13. Ikeda A, Shiga K, Katagiri K, Saito D, Miyaguchi J, Oikawa S, et al. Multi-institutional survey of carotid body tumors in Japan. *Oncol Lett*. 2018;15:5318–24, <http://dx.doi.org/10.3892/ol.2018.7925>.
14. Santillán-Aguayo E, Carbalaj-Robles V, Gómez-Apo Ó. Technique modification proposal for carotid body tumors resection: Transbulb dissection technique (TBD). *Rev Mex Angiol*. 2022;50:145–9, <http://dx.doi.org/10.24875/rma.22000020>.
15. Singh D, Praveena M, Aryala S. A study of arterial supply to carotid body tumor and its prospective implication in clinical practice. *Indian J Vasc Endovasc Surg*. 2023;10:17–20, [http://dx.doi.org/10.4103/ijves.ijves\\_65\\_22](http://dx.doi.org/10.4103/ijves.ijves_65_22).
16. Telischak N, Gross BA, Zeng Y, Reddy AS, Frankenthaler R, Ogilvy CS, et al. The glomic artery supply of carotid body tumors and implications for embolization. *J Clin Neurosci*. 2014;21:1176–9, <http://dx.doi.org/10.1016/j.jocn.2013.11.012>.
17. Shiga K, Katagiri K, Ikeda A, Saito D, Oikawa S-I, Tsuchida K, et al. Challenges of surgical resection of carotid body tumors –multiple feeding arteries and preoperative embolization. *Anticancer Res*. 2022;42:645–52, <http://dx.doi.org/10.21873/anticancer.15522>.
18. Wang J, Li Y, Cui J, Li S, Lv W, Yao C, et al. Retrospective analysis of carotid body tumor surgical management: Roles of preoperative image investigation and preoperative embolization. *Ann Vasc Surg*. 2023;94:213–22, <http://dx.doi.org/10.1016/j.avsg.2023.02.022>.

19. Cobb AN, Barkat A, Daungaiboon W, Halandras P, Crisostomo P, Kuo PC, et al. Carotid body tumor resection: Just as safe without preoperative embolization. *Ann Vasc Surg.* 2020;64:163–8, <http://dx.doi.org/10.1016/j.avsg.2019.09.025>.

Eduardo Segovia-Vergara\*, Javiera Villota-Neumann,  
Erick Rivera-Soto y Paolo Bozzo-Camponovo

Facultad de Medicina y Ciencia, Universidad San Sebastián, sede de  
La Patagonia, Puerto Montt, Chile

\* Autor para correspondencia.

Correo electrónico: [edusegovia23@gmail.com](mailto:edusegovia23@gmail.com)  
(E. Segovia-Vergara).



# BIO MED



unidix

# Especialistas en cirugía cardiovascular

desde 1977 al cuidado de tu salud



91 803 28 02



info@biomed.es

